

# Бесфононные и дипольные $\Gamma$ – $X$ -переходы электронов в гетероструктурах GaAs/AlAs с квантовыми ямами в продольном электрическом поле

© В.Я. Алешкин<sup>†</sup>, А.А. Андронов

Институт физики микроструктур Российской академии наук,  
603600 Нижний Новгород, Россия

(Получена 6 сентября 1999 г. Принята к печати 22 ноября 1999 г.)

Вычислены вероятности бесфононных и дипольных переходов электронов между  $\Gamma$ - и  $X$ -подзонами в гетероструктуре GaAs/AlAs с квантовыми ямами в присутствии сильного продольного электрического поля. Показано, что электрическое поле существенно влияет как на вероятность бесфононного  $\Gamma$ – $X$ -перехода, так и на вероятность прямого дипольного  $\Gamma$ – $X$ -перехода. Кроме того, электрическое поле изменяет спектральную зависимость коэффициента межподзонного поглощения света на  $\Gamma$ – $X$ -переходах, т.е. фактически имеется межподзонный аналог эффекта Франца–Келдыша.

В последние годы достигнуты значительные успехи в создании лазеров на межподзонных переходах при вертикальном транспорте [1] и с оптической накачкой [2]. В [3,4] была предложена схема создания межзонного лазера при продольном транспорте электронов в гетероструктуре GaAs/AlAs в сильных электрических полях. В функционировании такого лазера важную роль играет взаимодействие электронных состояний  $\Gamma$ - и  $X$ -долин на гетерогранице [5]. Очевидно, что это взаимодействие снимает запрет на прямые оптические переходы электронов между этими долинами. Кроме того, оно приводит к дополнительному  $\Gamma$ – $X$ -переходам электронов — бесфононным переходам [6].

Настоящая работа посвящена нахождению вероятностей бесфононного  $\Gamma$ – $X$ -перехода и оптического дипольного  $\Gamma$ – $X$ -перехода в гетероструктуре GaAs/AlAs с квантовыми ямами в присутствии сильного продольного электрического поля. Показано, что электрическое поле существенно влияет как на вероятность бесфононного  $\Gamma$ – $X$ -перехода, так и на вероятность прямого дипольного  $\Gamma$ – $X$ -перехода. Кроме того, электрическое поле изменяет спектральную зависимость коэффициента межподзонного поглощения света, т.е. фактически имеется межподзонный аналог эффекта Франца–Келдыша.

## Бесфононные переходы в продольном поле

Рассмотрим периодическую гетероструктуру, состоящую из тонких чередующихся слоев GaAs и AlAs, выращенную на плоскости (001). Выберем ось  $z$  вдоль направления роста. В такой гетероструктуре слой GaAs являются потенциальными ямами для электронов  $\Gamma$ -долины и барьерами для электронов  $X$ -долины, а слой AlAs — наоборот, потенциальными ямами для электронов  $X$ -долины и барьерами для электронов  $\Gamma$ -долины. Будем полагать, что прозрачность барьеров для электронов

$\Gamma$  и  $X$  мала, так что ширины минизон, возникающие из-за туннелирования, меньше величины размытия уровней за счет столкновений. В этом случае за время между туннельными переходами электрон несколько раз рассеивается и поэтому отсутствует когерентность волновых функций электронов, находящихся в разных слоях GaAs (AlAs). Это означает, что гетероструктуру можно рассматривать как совокупность независимых квантовых ям для электронов  $X$  и  $\Gamma$ .

При столкновении электрона с гетерограницей изменяется компонента квазиимпульса, направленная по нормали к ней. Благодаря этому электроны  $\Gamma$ -долины на гетерогранице могут непосредственно (т.е. без фононов и дефектов) взаимодействовать с электронами  $X$ -долины, которая смещена от центра зоны Бриллюэна в направлении [001] (будем обозначать ее  $X_z$ ). Это взаимодействие приводит к появлению бесфононных переходов электронов между соседними слоями GaAs и AlAs [6]. В результате такого перехода электрон, находящийся в  $\Gamma$ -долине GaAs, может оказаться в  $X$ -долине соседних слоев AlAs. Если вероятность перехода невелика (а именно такую ситуацию мы будем рассматривать), то из-за отсутствия фазовой когерентности волновых функций в различных слоях AlAs можно считать, что бесфононные переходы в два ближайших соседних слоя происходят независимо друг от друга. Поэтому для описания бесфононных переходов можно рассматривать  $\Gamma$ – $X$ -взаимодействие на одной гетерогранице, т.е. переходы в один ближайший слой. Для описания этого взаимодействия мы будем использовать гамильтониан, предложенный в работе [5]:

$$\hat{H}_{\text{int}} = \begin{pmatrix} \hat{H}_{\Gamma} & \alpha\delta(z-z_0) \\ \alpha\delta(z-z_0) & \hat{H}_X \end{pmatrix}, \quad (1)$$

где  $\hat{H}_{\Gamma}$ ,  $\hat{H}_X$  — гамильтонианы, описывающие движение электрона в  $\Gamma$ - и  $X_z$ -долинах,  $\alpha \approx 0.155 \text{ эВ } \text{\AA}$  — постоянная  $\Gamma$ – $X$ -связи в гетероструктуре GaAs/AlAs [5],  $z_0 - z$  координата гетерограницы.

Рассмотрим движение электрона вдоль квантовой ямы под воздействием продольного электрического поля.

<sup>†</sup> Факс: (8312)675553

E-mail: aleshkin@ipm1.sci-nnov.ru

Под воздействием этого поля квазиимпульс электрона линейно увеличивается со временем. Из-за трансляционной инвариантности гамильтониана  $\Gamma$ - $X$ -взаимодействия в плоскости гетерограницы бесфононные переходы происходят с сохранением квазиимпульса. Наиболее интенсивно они происходят в тех областях квазиимпульсного пространства, где  $\Gamma$ - и  $X$ -подзоны пересекаются или максимально сближаются (в отсутствие пересечений). Действительно,  $\Gamma$ - и  $X$ -подзонам соответствуют два типа электронных волн. В точках пересечения  $\Gamma$ - $X$ -зон выполняется условие фазового синхронизма этих волн (совпадают частоты и волновые векторы), что необходимо для их эффективного взаимодействия. Если пересечение отсутствует, то условию фазового синхронизма удовлетворить нельзя, а в месте наибольшего сближения подзон его нарушение минимально возможно.

Рассмотрим пару взаимодействующих  $\Gamma$ - и  $X$ -подзон. Волновую функцию электрона можно искать в виде суммы двух волновых функций  $\Psi = C_\Gamma \Psi_\Gamma + C_X \Psi_X$ , где  $\Psi_{\Gamma,X}$  — волновые функции в соответствующей подзоне. Решение стационарного уравнения Шредингера в отсутствие электрического поля имеет вид

$$C_\Gamma^\pm(k) = \frac{V}{\sqrt{[E_\pm(k) - \varepsilon_\Gamma(k)]^2 + V^2}},$$

$$C_X^\pm(k) = \frac{E_\pm(k) - \varepsilon_\Gamma(k)}{\sqrt{[E_\pm(k) - \varepsilon_\Gamma(k)]^2 + V^2}}, \quad (2)$$

где  $\varepsilon_\Gamma(k)$ ,  $\varepsilon_X(k)$  — зависимости энергии от волнового вектора в  $\Gamma$ - и  $X$ -подзонах,  $E_\pm(k)$  — зависимости энергии от квазиволнового вектора в новых подзонах, получившихся из  $\Gamma$ - и  $X$ -подзон в результате их взаимодействия:

$$E_\pm(k) = \frac{\varepsilon_\Gamma(k) + \varepsilon_X(k)}{2} \pm \sqrt{\left(\frac{\varepsilon_\Gamma(k) - \varepsilon_X(k)}{2}\right)^2 + V^2}, \quad (3)$$

$V = \alpha \Psi_\Gamma(0) \Psi_X(0)$  — эффективная энергия взаимодействия  $\Gamma$ - и  $X$ -долин,  $\Psi_{\Gamma,X}(0)$  — значения соответствующих волновых функций на гетерогранице.

Из (3) видно, что взаимодействие приводит к снятию вырождения электронного спектра в точке пересечения  $\Gamma$ - $X$ -подзон. В этом месте появляется щель величиной  $2V$  — это минимальное расстояние между новыми подзонами при фиксированной величине  $k$ .

Прежде чем находить вероятность бесфононного  $\Gamma$ - $X$ -перехода в электрическом поле произвольной величины, обсудим два предельных случая. В слабых электрических полях движение электрона имеет адиабатический характер и происходит целиком внутри одной из подзон с энергиями  $E_\pm(k)$ . В этом случае вероятность бесфононного  $\Gamma$ - $X$ -перехода равна нулю, если электрон прошел две точки (или ни одной)  $k$  пересечения  $\Gamma$ - и  $X$ -подзон, и единице, если электрон прошел одну такую точку. В сильных электрических полях  $\Gamma$ - $X$ -взаимодействие слабо влияет на движение электрона, поскольку мало время прохождения области  $k$  пространства, где  $\Gamma$ - $X$ -взаимодействие эффективно. В этом случае вероятность бесфононного перехода мала.

Найдем вероятность бесфононного  $\Gamma$ - $X$ -перехода при изменении волнового вектора электрона вдоль электрического поля от  $k_0$  до  $k_1$ . Пусть в момент времени  $t = t_0$  электрон находился в какой-то из  $\Gamma$ ,  $X$ -подзон. Нестационарное уравнение Шредингера сводится к системе уравнений для  $C_{\Gamma,X}$ :

$$\varepsilon_\Gamma(\mathbf{k}) C_\Gamma(\mathbf{k}, t) - iF \frac{\partial}{\partial k_1} C_\Gamma(\mathbf{k}, t) + VC_X(\mathbf{k}, t) = i\hbar \frac{\partial}{\partial t} C_\Gamma(\mathbf{k}, t),$$

$$VC_\Gamma(\mathbf{k}, t) + \varepsilon_X(\mathbf{k}) C_X(\mathbf{k}, t) - iF \frac{\partial}{\partial k_1} C_X(\mathbf{k}, t) = i\hbar \frac{\partial}{\partial t} C_X(\mathbf{k}, t), \quad (4)$$

где  $F = eE$  — сила, действующая на электрон в электрическом поле  $E$ . Решение (4) удобно искать в виде [7]

$$C_j(k_1, k_2, t) = a_j(k_1, k_2) \delta[k_1 - k_0 - F(t - t_0)]$$

$$\times \exp\left\{-\frac{i}{F} \int_0^{k_1} \varepsilon_j(k'_1, k_2) dk'_1\right\}, \quad (5)$$

где  $k_2$  — компонента волнового вектора, перпендикулярная электрическому полю. Квадрат модуля  $a_j(k_1, k_2)$  равен вероятности нахождения электрона в  $j$  зоне в момент времени, когда компонента его волнового вектора вдоль  $F$  равна  $k_1$ . Уравнение для  $a_j$  имеют вид

$$-i \frac{\partial}{\partial k_1} a_\Gamma(\mathbf{k}) + \frac{V}{F} \exp\left\{\frac{i}{F} \int_0^{k_1} (\varepsilon_\Gamma(k'_1, k_2) - \varepsilon_X(k'_1, k_2)) dk'_1\right\}$$

$$\times a_X(\mathbf{k}) = 0,$$

$$\frac{V}{F} \exp\left\{-\frac{i}{F} \int_0^{k_1} (\varepsilon_\Gamma(k'_1, k_2) - \varepsilon_X(k'_1, k_2)) dk'_1\right\} a_\Gamma(\mathbf{k})$$

$$- i \frac{\partial}{\partial k_1} a_X(\mathbf{k}) = 0. \quad (6)$$

Удобно в (5) ввести вместо  $k$  новую переменную  $\eta = kL_{FK}$ , где  $m = m_\Gamma m_X / (m_\Gamma - m_X)$ ;  $m_\Gamma$ ,  $m_X$  — массы электрона в  $\Gamma$ - и  $X_2$ -долинах соответственно,  $L_{FK} = (\hbar^2/2mF)^{1/3}$ . Тогда (6) принимает вид

$$-i \frac{\partial}{\partial \eta} a_\Gamma(\eta, k_2) + \frac{V}{V_{FK}} \exp\left\{i\left(\frac{\eta^3}{3} - \eta \frac{\Delta_{X\Gamma}(k_2)}{V_{FK}}\right)\right\}$$

$$\times a_X(\eta, k_2) = 0,$$

$$-i \frac{\partial}{\partial \eta} a_X(\eta, k_2) + \frac{V}{V_{FK}} \exp\left\{-i\left(\frac{\eta^3}{3} - \eta \frac{\Delta_{X\Gamma}(k_2)}{V_{FK}}\right)\right\}$$

$$\times a_\Gamma(\eta, k_2) = 0, \quad (7)$$

$\Delta_{X\Gamma}(k_2) = \varepsilon_X(0, k_2) - \varepsilon_\Gamma(0, k_2)$ ,  $V_{FK} = (\hbar^2 F^2 / 2m)^{1/3}$  — энергия Франца-Келдыша. Отметим, что в электрическом поле характерные длины, на которых изменяются волновые функции электрона в невзаимодействующих  $X$ ,  $\Gamma$ -подзонах, равны  $(\hbar^2 / 2m_{X,\Gamma} F)^{1/3}$  [8].

Характерная длина, на которой происходят бесфононные переходы, равна  $L_{FK}$ , а изменение кинетической энергии на этой длине равно  $V_{FK}$ . Ясно, что область, в которой наиболее интенсивно происходят бесфононные переходы в  $k$  пространстве, имеет размер вдоль  $k_1$  порядка  $L_{FK}^{-1}$  (т.е. порядка единицы по  $\eta$ ). Этот размер увеличивается с ростом электрического поля пропорционально  $F^{1/3}$ . Из (7) видно, что с ростом электрического поля уменьшается величина эффективного взаимодействия  $\Gamma$ - и  $X$ -подзон, поэтому следует ожидать, что вероятность бесфононных переходов должна падать с ростом электрического поля. Кроме того, ясно, что зависимость вероятности бесфононного перехода от  $k_2$  определяется зависимостью  $\Delta_{X\Gamma}(k_2)$ .

В достаточно сильных электрических полях вероятность бесфононных переходов при движении электрона от  $k_0$  до  $k_1$  мала и может быть вычислена с помощью теории возмущений:

$$D(k_0, k_1, k_2) = \frac{V^2}{F^2} \left| \int_{k_0}^{k_1} dk_1 \exp \left\{ \frac{i}{F} \int_0^{k_1} dk_1'' (\varepsilon_{\Gamma}(k_1'', k_2) - \varepsilon_X(k_1'', k_2)) \right\} \right|^2. \quad (8)$$

Используя (8), находим для вероятности бесфононного перехода при движении от  $-\infty$  до  $+\infty$

$$D_0(k_2) = D(-\infty, \infty, k_2) = \left( \frac{2\pi V}{V_{FK}} \right)^2 \text{Ai} \left( -\frac{\Delta_{X\Gamma}(k_2)}{V_{FK}} \right),$$

$$\text{Ai}(x) = \frac{1}{\pi} \int_0^{\infty} \cos \left( \frac{t^3}{3} + xt \right) dt, \quad (9)$$

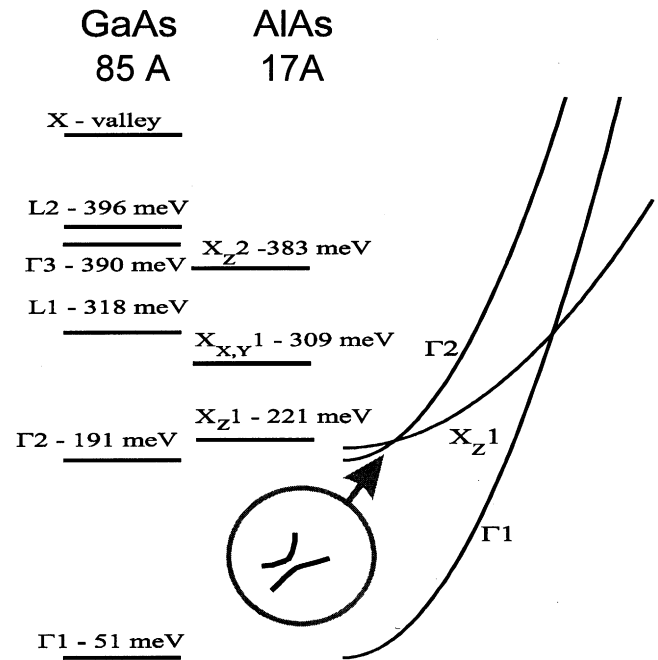
$\text{Ai}(x)$  — функция Эйри [9]. Из (9) видно, что для тех  $k_2$ , при которых  $\Delta_{X\Gamma} > 0$  и, следовательно, имеются точки пересечения  $\Gamma$ - и  $X$ -подзон,  $D_0$  — осциллирующая функция от  $\Delta_{X\Gamma}$ , — это результат интерференции переходов от двух точек пересечения. Если точки пересечения отсутствуют ( $\Delta_{X\Gamma} < 0$ ), то  $D_0$  — монотонно убывающая функция от  $|\Delta_{X,\Gamma}|$ .

Если точки пересечения  $\Gamma$ - и  $X$ -подзон достаточно сильно разнесены, так что происходит рассеяние частицы при движении между ними, необходимо отдельно рассматривать вероятность перехода при прохождении одной точки пересечения. В этом случае интеграл в (8) можно вычислить методом стационарной фазы:<sup>1</sup>

$$D(k_2) = \frac{2\pi V^2 m}{\hbar^2 F k_c(k_2)}, \quad (10)$$

где  $k_c(k_2)$  — компонента волнового вектора  $k_1$ , соответствующая пересечению подзон. Отметим, что выражение (10) справедливо, когда  $D \ll 1$ , т.е. неприменимо для малых  $k_c$ .

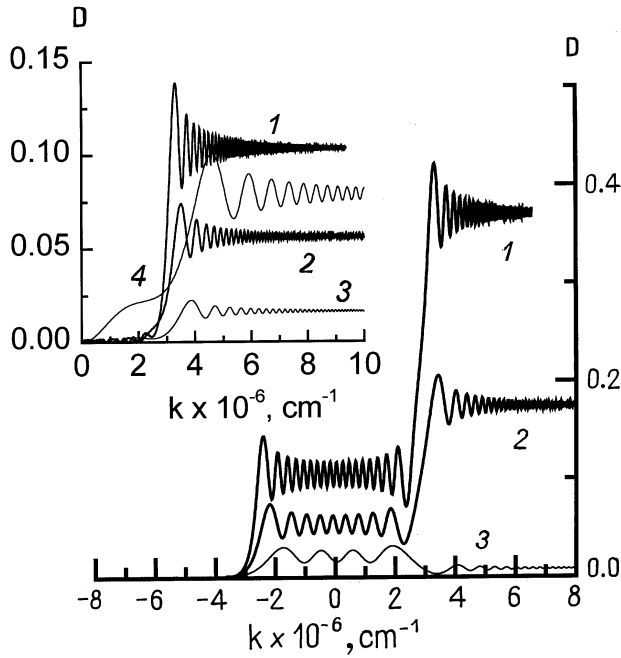
<sup>1</sup> В работе [8] допущена опечатка в выражении, аналогичном формуле (10).



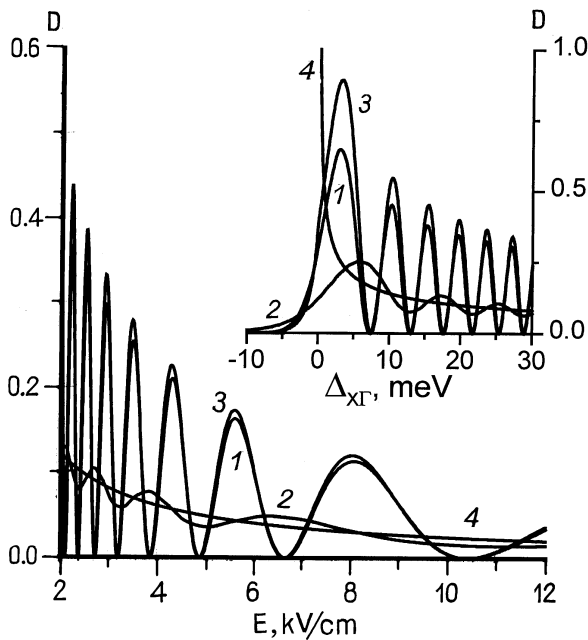
**Рис. 1.** Положение краев подзон размерного квантования электронов в периодической гетероструктуре GaAs/AlAs. Толщина слоев GaAs и AlAs 85 и 17 Å соответственно. Буквы обозначают долины, цифры — номера подзон. Энергия отсчитывается от дна  $\Gamma$ -долины в GaAs. Буквами  $X_x$ ,  $X_y$  обозначены две  $X$ -долины, смещенные относительно центра зоны Бриллюэна в направлениях [100] и [010] соответственно. В правой части рисунка показаны зависимости энергии электрона от волнового вектора для  $\Gamma_1$ -,  $\Gamma_2$ - и  $X_z1$ -подзон.

В качестве примера найдем вероятности бесфононных переходов между второй  $\Gamma$  и первой  $X_z$  подзонами в гетероструктуре, состоящей из чередующихся слоев GaAs (85 Å) и AlAs (17 Å) (в [4] рассматривалась возможность создания лазера на межподзонных переходах в близкой по параметрам структуре). На рис. 1 приведено расположение краев подзон размерного квантования для этой структуры и зависимости от волнового вектора энергий в  $\Gamma_1$ ,  $\Gamma_2$  и  $X_z1$  подзонах. Величина эффективной энергии взаимодействия  $\Gamma_1$ - и  $X_z1$ -подзон равна 0.9 мэВ.

На рис. 2 приведены зависимости вероятностей бесфононных переходов между  $\Gamma_2$ - и  $X_z1$ -подзонами от конечного значения волнового вектора вдоль электрического поля для рассматриваемой гетероструктуры. Компонента волнового вектора, перпендикулярная электрическому полю, полагалась равной нулю. Точке пересечения подзон соответствует  $k_1 \approx \pm 2.9 \cdot 10^6 \text{ см}^{-1}$ . Начальное значение волнового вектора полагалось равным  $-\infty$ . На вставке приведены аналогичные зависимости, когда начальное значение волнового вектора равно 0. Из рис. 2 видно, что в согласии с приведенными выше рассуждениями размер области, в которой эффективно происходят бесфононные переходы, увеличивается с ростом электрического поля.



**Рис. 2.** Зависимости вероятности бесфононного перехода из  $\Gamma_2$  в  $X_z1$  от волнового вектора вдоль электрического поля  $D(-\infty, k, k_2=0)$  и  $D(0, k, k_2=0)$  (на вставке) для гетероструктуры GaAs/AlAs, спектр которой приведен на рис. 1 ( $\Delta_{X\Gamma} = 30$  мэВ). Цифрам 1–4 соответствуют поля 1, 2, 5, 15 кВ/см. Вероятность для поля 15 кВ/см увеличена в 10 раз.



**Рис. 3.** Зависимость вероятности бесфононного перехода  $\Gamma_2-X_z1$  при движении электрона от  $k_0 = -\infty$  до  $k_1 = \infty$  (линия 1) и от  $k_0 = 0$  до  $k_1 = \infty$  (линия 2) от величины электрического поля. Компонента волнового вектора электрона, перпендикулярная полю, равна нулю. Линия 3 получена с помощью выражения (9), а линия 4 — с помощью (10). На вставке изображены зависимости вероятности бесфононных переходов от  $\Delta_{X\Gamma}$  в поле 2 кВ/см.

На рис. 3 приведены зависимости вероятностей бесфононных переходов от величины электрического поля при движении электрона от  $k_0 = -\infty, 0$  до  $k_1 = +\infty$  ( $k_2 = 0$ ), полученные из решения (7) (линии 1, 2) и из (9) и (10) (линии 3, 4). Из рисунка видно, что (9), (10) хорошо описывают вероятность бесфононных переходов для полей больше 2 кВ/см. На вставке изображены зависимости вероятностей бесфононных переходов от  $\Delta_{X\Gamma} = \Delta_{X\Gamma}(k_2 = 0) - \hbar^2 k_2^2 / 2m$  для электрического поля 2 кВ/см. Видно резкое уменьшение вероятности в области  $\Delta_{X\Gamma} < 0$ , где отсутствует пересечение подзон.

## Дипольные $\Gamma-X$ -переходы

Найдем теперь вероятность дипольного перехода электрона из  $X_z1$ -подзоны в  $\Gamma_1$ -подзону под воздействием слабого переменного электромагнитного поля  $E_1 \exp(i\omega t)$ , направленного вдоль оси  $z$ , в присутствии сильного постоянного электрического поля, лежащего в плоскости квантовых ям и направленного вдоль оси  $x_1$  для рассматриваемой выше гетероструктуры. Для нахождения вероятности дипольного перехода будем решать нестационарное уравнение Шредингера. Пусть в начальный момент времени  $t = 0$  электрон был помещен в  $X_z1$ -подзону с компонентой волнового вектора вдоль постоянного электрического поля  $k_0$ . Решение уравнения Шредингера будем искать в виде

$$\Psi(k, t) = a_{\Gamma_1}(k_2, t)\Psi_{\Gamma_1} + a_{\Gamma_2}(k_2, t)\Psi_{\Gamma_2} + a_X(k_2, t)\Psi_X, \quad (11)$$

где

$$\Psi_X(r, t) = \Psi_X(z)\delta\left(k_1 - k_0 - \frac{Ft}{\hbar}\right) \times \exp\left\{\frac{-i}{F}\left[\int_0^{k_0 + \frac{Ft}{\hbar}} \varepsilon_X(\hat{k}_1, k_2) d\hat{k}_1\right] + ik_1x + ik_2y\right\},$$

$$\Psi_{\Gamma_{1,2}}(r, t) = \Psi_{\Gamma_{1,2}}(z)\delta\left(k_1 - k_0 - \frac{Ft}{\hbar}\right) \times \exp\left\{\frac{-i}{F}\left[\int_0^{k_0 + \frac{Ft}{\hbar}} \varepsilon_{\Gamma_{1,2}}(\hat{k}_1, k_2) d\hat{k}_1\right] + ik_1x + ik_2y\right\}, \quad (12)$$

$\Phi_J(z)$  — компонента волновой функции в  $J$  подзоне, которая определяет движение электрона поперек квантовой ямы. Взаимодействием  $X_z1$ - и  $\Gamma_1$ -подзон будем пренебрегать из-за того, что его величина существенно меньше по сравнению с величиной взаимодействия  $X_z1$ - и  $\Gamma_2$ -подзон. Тогда, умножая уравнение Шредингера на  $\Phi_{\Gamma_1}(z)$  и интегрируя по  $z$ , можно получить следующее

уравнение для  $a_{\Gamma 1}(t)$ :

$$i\hbar \frac{d}{dt} a_{\Gamma 1}(k_2, t) = -eE_1 \exp(i\omega t) z_{12} a_{\Gamma 2}(k_2, t) \times \exp \left\{ \frac{i}{F} \left[ \int_0^{k_0 + \frac{Ft}{\hbar}} (\varepsilon_{\Gamma 1}(\tilde{k}_1, k_2) - \varepsilon_{\Gamma 2}(\tilde{k}_1, k_2)) d\tilde{k}_1 \right] \right\}, \quad (13)$$

$z_{12} = \int_{-\infty}^{\infty} \Phi_{\Gamma 1}^*(z) z \Phi_{\Gamma 2}(z) dz$  — матричный элемент  $z$  между  $\Gamma 1$ - и  $\Gamma 2$ -подзонами. Учитывая по теории возмущений взаимодействие  $X_2 1$ - и  $\Gamma 2$ -подзон, находим

$$a_{\Gamma 2}(k_2, t) = \frac{V}{iF} \int_{k_0}^{k_0 + \frac{Ft}{\hbar}} \exp \left( \frac{ig(k, k_2)}{F} \right) dk, \quad (14)$$

$$g(k, k_2) = \int_0^k (\varepsilon_{\Gamma 2}(\tilde{k}_1, k_2) - \varepsilon_{X 1}(\tilde{k}_1, k_2)) d\tilde{k}_1.$$

Интегрируя (13) с использованием (14) и учитывая, что  $\varepsilon_{\Gamma 1}(k_1, k_2) - \varepsilon_{\Gamma 2}(k_1, k_2) = \Delta - \text{const}$ , находим

$$a_{\Gamma 1}(k_2, t) = \frac{eE_1 z_{12}}{\hbar} \frac{V}{F} \int_0^t dx \exp(i\bar{\omega} x) \int_{k_0}^{k_0 + \frac{Fx}{\hbar}} \exp \left( \frac{ig(k, k_2)}{F} \right) dk, \quad (15)$$

$$\bar{\omega} = \omega - \frac{\Delta}{\hbar}.$$

Интегрируя (15) по частям, получаем следующее выражение для  $a_{\Gamma 1}(k_2, t)$ :

$$a_{\Gamma 1}(k_2, t) = \frac{eE_1 V z_{12} \exp \left( -i \frac{\hbar \bar{\omega} k_0}{F} \right)}{iF \hbar \bar{\omega}} \left[ \exp \left( \frac{i}{F} [\bar{\omega} (\hbar k_0 + Ft)] \right) \times \int_{k_0}^{k_0 + \frac{Ft}{\hbar}} \exp \left( \frac{ig(k, k_2)}{F} \right) dk - \int_{k_0}^{k_0 + \frac{Ft}{\hbar}} \exp \left( \frac{i}{F} [\hbar \bar{\omega} k + g(k, k_2)] \right) dk \right]. \quad (16)$$

Используя (16), квадрат модуля  $a_{\Gamma 1}(k_2, t)$  можно записать в виде трех слагаемых

$$|a_{\Gamma 1}(k_2, t)|^2 = A(k_2, t) + B(k_2, t) + C(k_2, t), \quad (17)$$

где

$$A(k_2, t) = \frac{|eE_1 z_{12} V|^2}{F^2 (\hbar \bar{\omega})^2} \left[ (R_1(k_2, t) - R_2(k_2, t, \omega))^2 + (I_1(k_2, t) - I_2(k_2, t, \omega))^2 \right], \quad (18)$$

$$B(k_2, t) = \frac{4|eE_1 z_{12} V|^2}{F^2 (\hbar \bar{\omega})^2} (R_1(k_2, t) R_2(k_2, t) + I_1(k_2, t) I_2(k_2, t)) \sin^2 \left( \frac{\hbar \bar{\omega} (k_0 + \frac{Ft}{\hbar})}{2F} \right), \quad (19)$$

$$C(k_2, t) = \frac{2|eE_1 z_{12} V|^2}{F^2 (\hbar \bar{\omega})^2} (I_1(k_2, t) R_2(k_2, t) - I_2(k_2, t) R_1(k_2, t)) \sin \left( \frac{\hbar \bar{\omega} (k_0 + \frac{Ft}{\hbar})}{2F} \right), \quad (20)$$

$$R_1(k_2, t) = \text{Re} \left( \int_{k_0}^{k_0 + \frac{Ft}{\hbar}} \exp \left( \frac{ig(k, k_2)}{F} \right) dk \right),$$

$$I_1(k_2, t) = \text{Im} \left( \int_{k_0}^{k_0 + \frac{Ft}{\hbar}} \exp \left( \frac{ig(k, k_2)}{F} \right) dk \right), \quad (21a)$$

$$R_2(k_2, t) = \text{Re} \left( \int_{k_0}^{k_0 + \frac{Ft}{\hbar}} \exp \left( \frac{i}{F} [\hbar \bar{\omega} k + g(k, k_2)] \right) dk \right), \quad (21b)$$

$$I_2(k_2, t) = \text{Im} \left( \int_{k_0}^{k_0 + \frac{Ft}{\hbar}} \exp \left( \frac{i}{F} [\hbar \bar{\omega} k + g(k, k_2)] \right) dk \right). \quad (21в)$$

При стремлении  $t$  к бесконечности  $B(k_2, t)$  пропорционально  $t \delta(\hbar \omega - \Delta)$ . Действительно, воспользовавшись равенством [8]

$$\lim_{t \rightarrow \infty} \frac{\sin^2 \alpha t}{\pi t \alpha^2} = \delta(\alpha), \quad (22)$$

$B(k_2 t)$  можно переписать в виде

$$B(k_2, t) \approx \frac{2\pi (eE_1 z_{12})^2 D(k_0, \infty, k_2)}{\hbar} t \delta(\hbar \omega - \Delta), \quad (23)$$

где  $D(k_0, \infty, k_2)$  — вероятность бесфононного перехода при движении электрона от  $k_1 = k_0$  до  $k_1 = \infty$ , которая определяется из (8). Очевидно, что это слагаемое описывает дипольные переходы электронов, оказавшихся в  $\Gamma 2$ -подзоне в результате бесфононных переходов.

Нетрудно показать, что при стремлении  $t$  к бесконечности  $C(k_2, t)$  также пропорционально  $\delta(\hbar \omega - \Delta)$ . Для этого воспользуемся равенством

$$\lim_{t \rightarrow \infty} \frac{\sin \alpha t}{\pi \alpha} = \delta(\alpha). \quad (24)$$

Тогда  $C(k_2, t)$  можно представить в виде

$$C(k_2, t) = \frac{2\pi (eE_1 z_{12} V)^2}{F^2} G(k_2) \delta(\hbar \omega - \Delta), \quad (25)$$

$$G(k_2) = \int_{k_0}^{\infty} \int_{k_0}^{\infty} x \cos \left( \frac{g(x, k_2) + g(y, k_2)}{F} \right) dx dy. \quad (26)$$

Наиболее просто найти вероятность дипольного перехода, когда  $k_0$  отрицательно и велико по модулю. В этом случае основной вклад в интегралы (21) дают области, где  $\delta\varepsilon(k_1, k_2)$  минимальна (области максимального сближения  $\Gamma 2$ - и  $X_2 1$ -подзон), и поэтому в качестве нижнего

предела интегрирования можно взять  $-\infty$ . Интеграл (26) при таких  $k_0$  обращается в нуль, следовательно,  $C = 0$ , и остается только два члена в вероятности перехода:  $A$  и  $B$ . Выражение для  $A(k_2, \infty)$  можно тогда записать в следующем виде:

$$A(k_2, \infty) = \left( \frac{2\pi e E_1 |z_{12}| V}{\hbar \omega V_{FK}} \right)^2 \left\{ \text{Ai} \left( \frac{\hbar^2 k_2^2}{2m V_{FK}} - \frac{\Delta_{X1\Gamma_2}}{V_{FK}} \right) - \text{Ai} \left( \frac{\hbar^2 k_2^2}{2m V_{FK}} + \frac{\hbar \omega - \Delta_{X1\Gamma_2}}{V_{FK}} \right) \right\}^2 \quad (27)$$

Отметим, что зависимость  $A$  от  $\omega$  имеет максимум в  $V_{FK}/\hbar$ -окрестности частоты  $\omega = \Delta/\hbar$ . Появление этого нерезонансного слагаемого связано с особенностями в динамике электрона во время прохождения им областей, где эффективно  $\Gamma$ - $X$ -взаимодействие. Именно эти области дают основной вклад в интегралы (21).

Важно подчеркнуть, что вероятность перехода  $B$  пропорциональна времени. Поэтому соответствующий коэффициент поглощения может быть вычислен в рамках "золотого правила". И соответствующий вклад просто пропорционален вероятности  $\Gamma_2 - \Gamma_1$  оптического перехода для электрона, претерпевшего  $X_21 - \Gamma_2$  прямой переход. Вклад, соответствующий  $A$ , не зависит от времени. Это есть вероятность оптического перехода при пересечении электроном области эффективного  $\Gamma$ - $X$ -взаимодействия. Поглощаемая мощность, обусловленная такими переходами, пропорциональна произведению вероятности перехода ( $A$ ) на поток электронов в импульсном пространстве. В результате получаем следующее выражение для поглощаемой мощности при  $\hbar \omega \neq \Delta$  в системе из  $N$  квантовых ям в пренебрежении размытием уровней за счет столкновений:

$$P(\omega) = \frac{L_1 L_2 F N \omega}{(2\pi)^2} \int_{-\infty}^{\infty} f(k_2) A(k_2, \infty) dk_2, \quad (28)$$

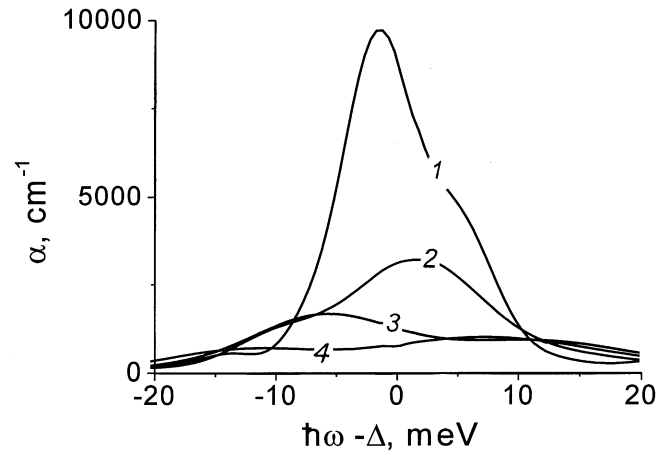
где  $L_1, L_2$  — размеры системы в плоскости вдоль осей  $x_1$  и  $x_2$ ,  $f(k_2)$  — разность вероятностей заполнения состояний  $\Gamma_1$  и  $X_21$ . Пусть излучение распространяется вдоль оси  $x_2$ . Тогда мощность падающей на структуру волны можно записать в виде

$$I(\omega) = \frac{L_1 L_3 n c E_1^2}{2\pi}. \quad (29)$$

где  $L_3$  — размер системы вдоль  $z$ ,  $n$  — показатель преломления,  $c$  — скорость света. Используя (28) и (29), можно найти коэффициент поглощения

$$\alpha(\omega) = \frac{4P(\omega)}{I(\omega)L_2} = \frac{32\pi e^2 |z_{12}|^2 V^2 \omega m}{d n c (\hbar \omega - \Delta)^2 \hbar^2} \int_0^{\infty} \left\{ \text{Ai} \left( x^2 - \frac{\Delta_{X1\Gamma_2}}{V_{FK}} \right) - \text{Ai} \left( x^2 - \frac{\Delta_{X1\Gamma_2} - \hbar \omega + \Delta}{V_{FK}} \right) \right\}^2 f(k_2) dx, \quad (30)$$

где  $d = L_3/N$  — период структуры в направлении  $z$ . При получении (30) было учтено спиновое вырождение



**Рис. 4.** Зависимость коэффициента поглощения от частоты в периодической гетероструктуре GaAs/AlAs при разных значениях электрического поля, вычисленная по формуле (31) с  $f = 1$  для гетероструктуры, спектр которой представлен на рис. 1. Линиям 1–4 соответствуют поля 5, 9, 12, 15 кВ/см.

состояний электронов и возможность перехода из слоя AlAs в два соседних слоя GaAs.

На рис. 4 приведена зависимость  $\alpha(\omega)$  для периодической гетероструктуры, AlAs/GaAs, содержащей 87 Å слой GaAs и 17 Å слой AlAs, при различных величинах электрических полей. При вычислениях было положено  $f(k_2) = 1$ . Из рисунка видно, что с ростом электрического поля происходит расширение спектра  $\alpha(\omega)$  около  $\omega = \Delta/\hbar$  с одновременным уменьшением его амплитуды. Причина расширения спектра состоит в увеличении энергетического интервала  $\Gamma$ - $X$ -взаимодействия ( $V_{FK}$ ) с ростом электрического поля. Уменьшение амплитуды связано с одновременным ослаблением этого взаимодействия. Поскольку нерезонансные переходы происходят главным образом в областях пространства квазимульсов, где эффективно  $\Gamma$ - $X$ -взаимодействие,  $f(k_2)$  следует брать в этих областях.

В отсутствие постоянного поля вероятность дипольного перехода из состояний  $\Gamma_1$  в состояния с энергиями  $E_{\pm}(k)$  вычисляется обычным образом. Приведем выражения для матричных элементов переходов:

$$|z_{\Gamma_1, \pm}(k)|^2 = \frac{|z_{12}|^2}{1 + \frac{(E_{\pm}(k) - \varepsilon_{\Gamma_2}(k))^2}{V^2}}. \quad (31)$$

Из (32) видно, что характерный масштаб убывания  $|z_{\Gamma_1, \pm}|^2$  по мере отклонения энергии перехода от  $\Delta$  (т.е.  $E_{\pm}$  от  $\varepsilon_{\Gamma_2}$ ) равен  $V$ . Для рассмотренной структуры эта величина заметно меньше энергии размытия уровней, которая составляет величину около 1–10 мэВ, и уширение линии перехода за счет  $\Gamma$ - $X$ -взаимодействия в отсутствие электрического поля слабо изменит форму линии. Напротив, энергия  $V_{FK}$  в достаточно сильных полях может быть сравнимой или даже превосходить энергию размытия уровней и поэтому форма линии

поглощения зависит от величины электрического поля. Отметим, что аналогичная зависимость имеет место в эффекте Франца–Келдыша при межзонном поглощении света [10].

Работа выполнена при финансовой поддержке РФФИ (99-02-17873), МНТП "Физики твердотельных наноструктур" (98-02-1098) и Международного центра-фонда перспективных исследований в Нижнем Новгороде (99-2-11).

## Список литературы

- [1] J. Faist, F. Capasso, D.L. Sivco, A.L. Hutchinson, A.Y. Cho. *Science* **264**, 553 (1994).
- [2] O. Gauthier-Lafaye, F.H. Julien, S. Cabaret, J.-M. Lourtioz. *Appl. Phys. Lett.*, **74**, 1537 (1999).
- [3] В.Я. Алешкин, А.А. Андронов. *Письма ЖЭТФ*, **68**, 73 (1998).
- [4] V.Ya. Aleshkin, A.A. Andronov, E.V. Demidov. *Mater. Sci. Forum*, **297–298**, 221 (1999).
- [5] H.C. Liu. *Appl. Phys. Lett.*, **51**, 1019 (1987).
- [6] З.С. Грибников, Райчев. *ФТП*, **23**, 2171 (1989).
- [7] В.Я. Алешкин, Ю.А. Романов. *ЖЭТФ*, **87**, 1857 (1984).
- [8] Л.Д. Ландау, Е.М. Лифшиц. *Квантовая механика. Нерелятивистская теория* (М., Наука, 1989).
- [9] *Справочник по специальным функциям*, под ред. М. Абрамовица и И. Стиган (М., Наука, 1979).
- [10] А.И. Ансельм. *Введение в теорию полупроводников* (М., Наука, 1978).

Редактор В.В. Чалдышев

## Phononless and dipole $\Gamma - X$ electron transitions in GaAs/AlAs quantum well heterostructures under lateral electric field

V.Ya. Aleshkin, A.A. Andronov

Institute for Physics of Microstructures,  
Russian Academy of Sciences, GSP-105  
603600 Nizhny Novgorod, Russia

**Abstract** Probabilities of the phononless and the dipole electron transitions between states of the  $\Gamma$  and  $X$  subbands in GaAs/AlAs quantum well heterostructures under high electric field have been calculated. It is shown that a high electric field has strong influence on the probabilities of the phononless and direct optical dipole  $\Gamma - X$  electron transitions. Alongside with the above said, a lateral electric field changes the spectrum of the intersubband  $\Gamma - X$  light absorption, i.e. there is an intersubband analogue of the Franz–Keldysh effect.